

回転円板法の操作条件と処理効率 一円板回転速度の影響を中心として

宮崎大学工学部 正員 渡辺義公 ○学生員 大山宏隆 正員 石黒政儀

1 はじめに 本研究では生物膜反応の動力学的解析によって回転円板法の操作条件を記述する3つのパラメータを説明し、パラメーターと処理効率の関係を明らかにする。さらに、パラメーターを用いて回転円板法によるBOD除去、硝化、脱窒のデータを解析し合理的な設計法と処理効率の改善への方途についての提案を行う。なお本研究では円板面積として浸漬面積を用いていることに注意されたい。

2 生物膜反応機構の動力学的解析 生物膜とその近傍を図-1のように分割する。

液本体の基質濃度は定常で基質は拡散層内を分子拡散して生物膜に達し、その内部を分子拡散しながら生物化学的の反応により除去される。生物膜内では基質濃度に関係なく一定の速度で基質が除去されると仮定すると、図-1の2つの生物膜内基質濃度分布における生物膜表面での基質Flux (F_s)は式-(1),(2)で与えられる。

(a) 完全基質浸透(図-1のa分布) $F_s = F_{s,0} = R L_a \quad \text{---(1)}$

(b) 不完全基質浸透(図-1のb分布) $F_s = F_{s,1/2} = (2DR C_s)^{1/2} \quad \text{---(2)}$

定常状態では拡散層を通過する基質Flux (F_b)と F_s が等しいので式(3)が成立する。

$C_b = C_s + F_s / K_d \quad \text{---(3)}$

完全基質浸透の場合、 $(2DR C_s)^{1/2} \geq R L_a$ が成立するのでパラメーター λ_1 によって生物膜内の基質浸透条件を記述できる。

$\lambda_1 = (2DR C_s / R)^{1/2} / L_a \quad \text{---(4)}$

$$\begin{aligned} \text{完全基質浸透条件} &: \lambda_1 \geq 1 \\ \text{不完全基質浸透条件} &: \lambda_1 < 1 \end{aligned} \quad \text{---(5)}$$

$\lambda_1 \geq 1$ では拡散層の移動抵抗は無視できる。 $\lambda_1 < 1$ では、から導かれるパラメーター λ_2 によって拡散層の移動抵抗を定量化できる。 $\lambda_2 = K_d (C_b - C_s) / (2DR C_s)^{1/2} = (DC_s / 2R)^{1/2} / L_d \quad \text{---(6)}$

式(6)を式(3)に代入すると式-7を得る。 $F_{s,1/2} / F_{b,1} = K_d (C_b - C_s) / K_d \cdot C_b = 1 - C_s / C_b = 1 / (1 + \lambda_2) \quad \text{---(7)}$

λ_2 と $F_{s,1/2} / F_{b,1}$ の関係は図-2のようである。 λ_2 と C_b の関係はパラメータ λ_3 によって一義的に決まる。(図-3)

$\lambda_3 = (2DR)^{1/2} / K_d = L_d (2R/D)^{1/2} \quad \text{---(8)}$

以上をまとめると、液本体定常基質濃度に関するFlux (F_b) は以下のようになる。

(a) 完全基質浸透の場合 : $F_b = F_{b,0} = R L_a \quad \text{---(9)}$

(b) 不完全基質浸透の場合 : $F_b = F_{b,1/2} = (2DR C_s)^{1/2} = K_{1/2} C_s^{1/2} \quad \text{---(10)}$

$F_b = F_{b,n} = K_n C_b^n \quad (\lambda_2 \rightarrow 0) \quad \text{---(11)}$

$F_b \rightarrow K_d \quad (\lambda_2 \rightarrow \infty) \quad K_n \rightarrow K_{1/2} \quad (K_d < K_n < K_{1/2}, 1/2 < n < 1) \quad \text{---(12)}$

$K_n \rightarrow K_d \quad (\lambda_2 \rightarrow 0) \quad K_n \rightarrow K_{1/2} \quad (\lambda_2 \rightarrow \infty) \quad n \rightarrow 1/2$

以上の理論展開により生物膜による反応の機構は基質の分子拡散係数と膜内での除去速度および拡散層厚と有効生物膜厚によって決まる事がわかる。 L_d については回転円板法による硝化と脱窒実験、生物膜がない円板による曝気実験⁵⁾、回転円板法によるサッカロースの酸化実験⁶⁾によるデータ解析から図-4のような結果が得られている。同図より L_d は円板直径に関係なく円板回転速度の $-1/2$ 乗に比例する事が明らかであるが、生物膜の表面形状との関係

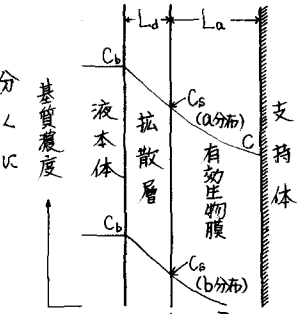
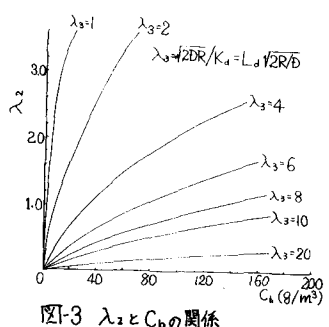
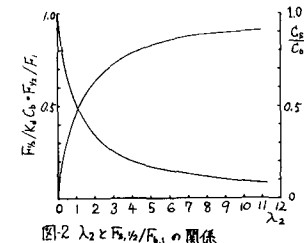


図-1 生物膜モデル

図-3 λ_2 と C_b の関係

については今後の研究課題である。 L_a については筆者らの報告¹⁾を参照されたい。
純基質のDとRおよび L_d を $100\mu\text{m}$ とした場合の λ_3 の値を表-1に示す。

3 回転円板法の操作方程式と操作図 定常状態における完全混合型回転円板法の物質収支式と前章で定式化した F_b により操作方程式は式(13)~(15)のように求められる

$$(a) \text{完全浸透の場合} : C_e/C_o = 1 - RL_a/(QC_o/A_w) \quad -(13)$$

$$(b) \text{不完全浸透の場合} (\lambda_3 \rightarrow 0) : C_o/C_e = 1 + A_w K_d / Q \quad -(14)$$

$$(c) \text{不完全浸透の場合} : C_e/C_o = 1 - K_n C_e^n / (QC_o/A_w) \quad -(15)$$

式13,14を用いて半水没型回転円板法による硝化とBOD除去の操作図を作成したものが図-5,6である。図-5中の●は筆者らの実験値である。この場合の L_a は約 $50\mu\text{m}$, Rは約 $5.2 \times 10^3 \text{ g/m}^2\text{h}$, L_d は約 $80\mu\text{m}$ と推定した。 L_a は気相を純酸素とした場合には $150\mu\text{m}$ 程度となるので RL_a として $20\text{ g/m}^2\text{日}$ まで作図した。硝化反応の λ_3 は約4であり●は RL_a と K_d がそれぞれ $6.5\text{ g/m}^2\text{日}$, 10^3 m/h 程度の時のデータである。図-6中の●はステンゲリン社の設計図表から流入水BODが 150 mg/l の場合について計算したものである。ステンゲリン社の装置ではpöpelのデータを解析した結果、 RL_a が約 $60\text{ g/m}^2\text{日}$, K_d が約 $6 \times 10^2 \text{ m/h}$ と推定された。全水没型回転円板による脱窒のデータが図-7である。この場合の λ_3 は約2であり同図中に示した回帰直線の式から $K_{b,n} = 9.4 \times 10^{-2} \text{ m/h}$, $m = 0.57$ である。 $R=1,2$ では L_d が約 $90\mu\text{m}$, $60\mu\text{m}$ であり、 K_d はそれぞれ $7 \times 10^{-2} \text{ m/h}$, 10^{-1} m/h となる。式-3により F_b と C_s の関係を求めるとき図-8のようになる。図中の直線の勾配から脱窒反応のRを計算すると約 $1.5 \times 10^3 \text{ g/m}^2\text{h}$ となり、 $K_{b,n}$ は約 $1.3 \times 10^{-1} \text{ m/h}$ となる。 K_n と m はそれぞれ $K_{b,n}$ と $1/m$ に十分近い値となっておりことから、 λ_3 が2程度では拡散層の移動抵抗は非常に小さいと結論づけることができる。

4 おわりに 本研究では回転円板法の処理効率が基質の分子拡散係数と生物膜内での除去速度および拡散層厚と有効生物膜厚によって決まる事を理論的に定量化した。

一記号表

- R: 基質の生物膜内除去速度($\text{g}/\text{m}^2\text{h}$) L_a : 有効生物膜厚(m)
 Cs: 基質の生物膜表面定常濃度(g/m^2) C_o : 流入水基質濃度(g/m^3)
 Ce: 流出水基質濃度(g/m^3) Q : 流入水量(m^3/h) K_d : 物質移動係数(m/h) L_d : 拡散層厚(m) A_w : 浸漬円板面積(m^2)

参考文献

- (1)(2)(3): 渡辺他 下水道協会誌 No.172(1978) No.195(1980) No.221
 (1982) (4): 渡辺他 工木学会論文集 No.276(1978)
 (5): 渡辺他 衛生工学研究論文集(1983) (6): Friedman他
 JWPFC vol.51 No.11(1979) (7): 奥野 用水と廃水 vol.19 No.7
 (1977)

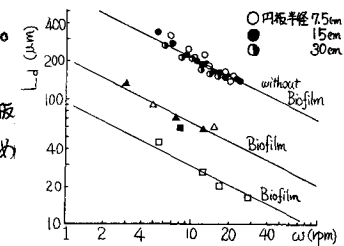


図-4 拡散層厚と回転速度の関係

表-1 純基質の λ_3

Electron Donor	Electron Acceptor	水温 (°C)	D (m^2/h)	R ($\text{g}/(\text{m}^2\text{日})$)	λ_3 (g/m ² 日)
C ₆ H ₁₂ O ₆	O ₂	20	1.9×10^{-6}	6.9×10^4	25
C ₆ H ₁₂ O ₅	O ₂	23	2.4×10^{-6}	3.0×10^3	16
HOCH ₂ CH ₂ OH	O ₂	13	4.0×10^{-6}	1.0×10^3	2.2
NH ₄ ⁺	NO ₃ ⁻	13	-	2.4×10^3	3.5
CH ₃ OH	NO ₃ ⁻	20	5.4×10^{-6}	4.0×10^3	3.8
CH ₃ OH	NO ₃ ⁻	20	6.0×10^{-6}	1.5×10^3	2.2
NH ₄ ⁺	O ₂	23	6.9×10^{-6}	5.2×10^3	3.9

* C₆H₁₂O₆は回転円板法で測定

** NO₃⁻分子移動係数: K_d はElectron donorの分子移動係数

*** NO₃⁻はRを測定するためElectron donorの分子移動係数

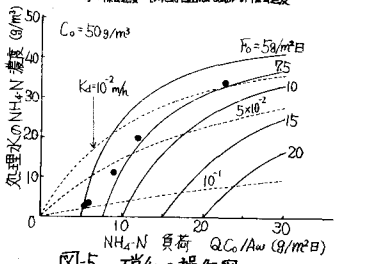


図-5 硝化の操作図

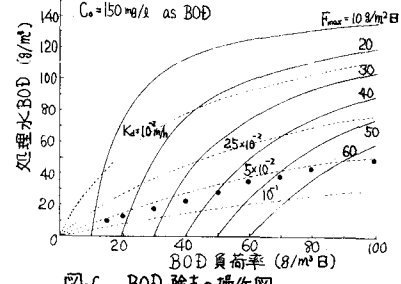


図-6 BOD 除去の操作図

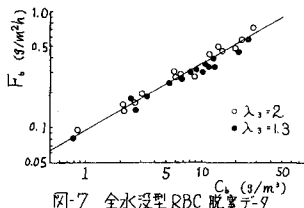


図-7 全水没型 RBC 脱窒

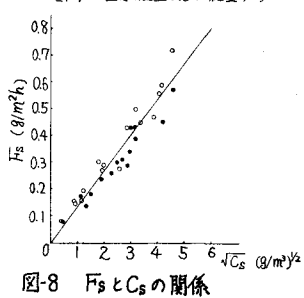


図-8 F_b と C_s の関係